

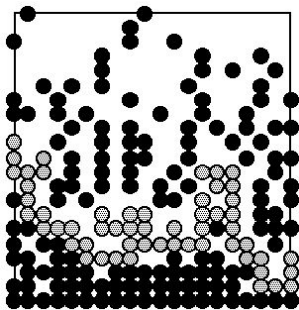
# Universalité de certaines interfaces aléatoires : Inhomogénéité et SLE(6)

Pierre Nolin  
(Courant Institute)

31 Août 2010

## Inhomogénéité et universalité

Systèmes physiques pour lesquels l'inhomogénéité joue un rôle central : modèles de fronts de diffusion par exemple (Gouyet, Rosso, Sapoval, 1985).



(Fig. J.F. Gouyet)

## Inhomogénéité et universalité

- Interface fractale, de dimension  $D_f = 1.76 \pm 0.02$ .

## Inhomogénéité et universalité

- Interface fractale, de dimension  $D_f = 1.76 \pm 0.02$ .
- Interface localisée où  $p(z)$  (densité de particules au site  $z$ ) est proche de  $p_c$  (paramètre critique de percolation).

## Inhomogénéité et universalité

- Interface fractale, de dimension  $D_f = 1.76 \pm 0.02$ .
- Interface localisée où  $p(z)$  (densité de particules au site  $z$ ) est proche de  $p_c$  (paramètre critique de percolation).
- Divers exposants critiques (amplitude des fluctuations, longueur. . . ) qui semblent liés à ceux de la percolation usuelle : par exemple,  $D_f \simeq 7/4$  est la dimension des interfaces pour la percolation en régime critique.

## Inhomogénéité et universalité

- Pour les simulations, approximation que les statuts des différents sites (occupés / vacants) sont indépendants les uns des autres  
  
↪ processus de percolation inhomogène de paramètre  $p(z)$  :  
modèle de *percolation en gradient*.

## Inhomogénéité et universalité

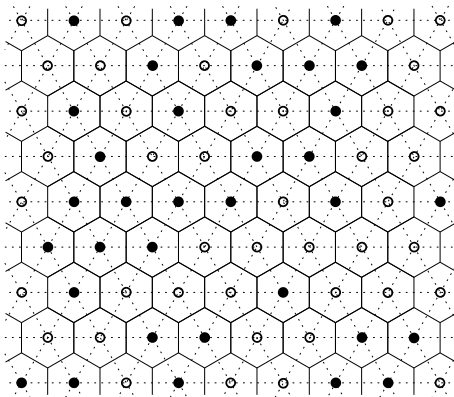
- Pour les simulations, approximation que les statuts des différents sites (occupés / vacants) sont indépendants les uns des autres
  - ↪ processus de percolation inhomogène de paramètre  $p(z)$  : modèle de *percolation en gradient*.
- Ici :
  - étude de la percolation en gradient.
  - $\Rightarrow$  propriétés des fronts de diffusion.

# Percolation presque-critique



## Percolation par sites

Percolation par sites sur le *réseau triangulaire* :



## Percolation par sites

↪ images de ce type :



## Existence d'une transition de phase à $p_c = 1/2$

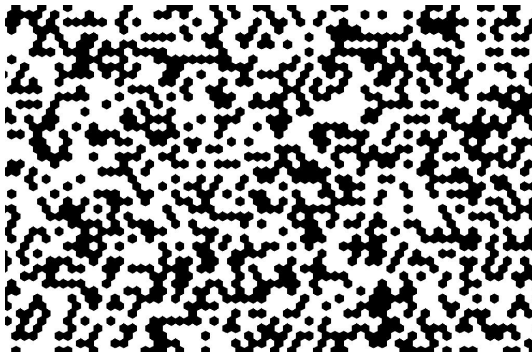
La percolation possède une *transition de phase*, à  $p_c = 1/2$  sur le réseau triangulaire :

- Si  $p < 1/2$  : pas d'amas infini (régime *sous-critique*),
- Si  $p > 1/2$  : un *unique* amas infini (régime *sur-critique*).

Si  $p = 1/2$  : régime *critique*, pas de cluster infini.

## Régime sous-critique

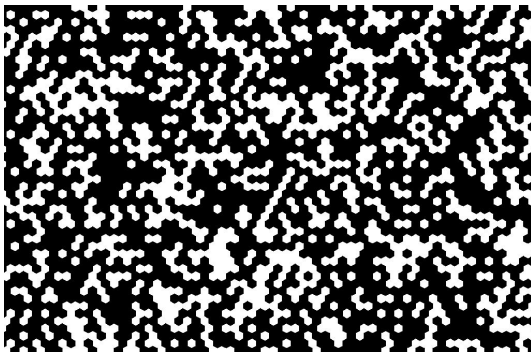
En régime *sous-critique* ( $p < 1/2$ ),



↪ longueur caractéristique  $\xi(p)$ .

## Régime sur-critique

En régime *sur-critique* ( $p > 1/2$ ),



## Régime critique

Au point critique  $p = p_c = 1/2$ , “pas de longueur caractéristique” :



# Percolation presque-critique

Deux ingrédients principaux :

- (1) Étude de la percolation critique (Lawler, Schramm, Smirnov, Werner, 1999–2001)
- (2) Techniques de renormalisation (Kesten, 1987)

⇒ Description de la percolation près du point critique.

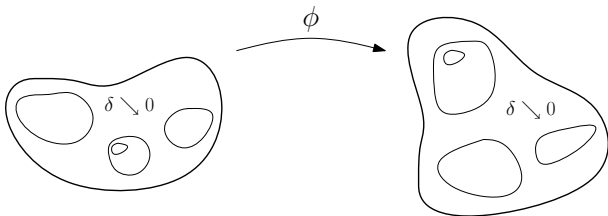




## Invariance conforme au point critique

*Limites d'échelle* : limites continues, pour  $\delta \searrow 0$ .

Comment y donner un sens ? **interfaces** par exemple.

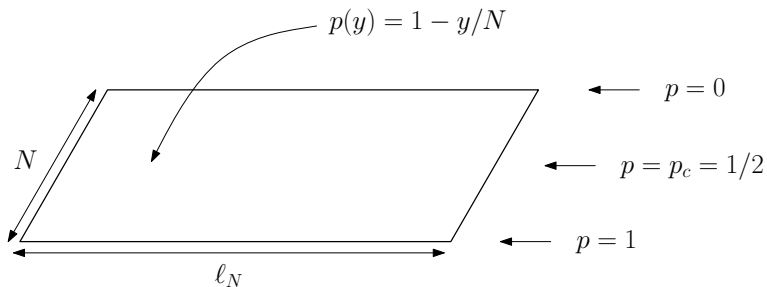


$\rightsquigarrow$  décrites par SLE(6).

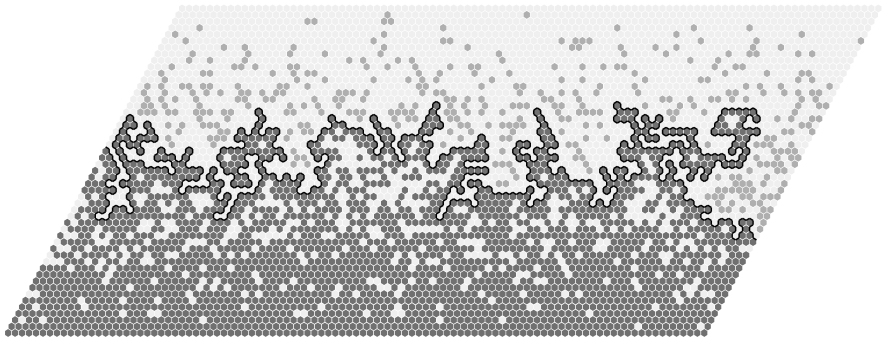
# Application : géométrie des fronts de diffusion

## Percolation en gradient

Bande  $[0, \ell_N] \times [0, N]$ , paramètre de percolation  $p(y)$  décroissant linéairement en  $y$  :

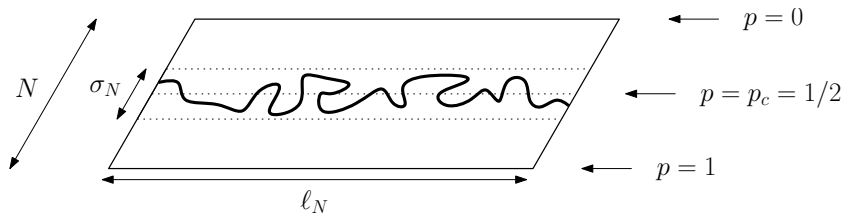


# Percolation en gradient



## Heuristique

Localisation dans une “bande critique” autour de  $p = p_c = 1/2$  : bande dans laquelle la percolation est presque-critique.



## Heuristique

Pour la largeur  $\sigma_N$  de la bande critique,

$$\sigma_N = \xi(1/2 \pm \sigma_N/2N).$$

Comme  $\xi(p) = |p - 1/2|^{-4/3+o(1)}$  ( $p \rightarrow 1/2$ ),

$$\sigma_N = (\sigma_N/2N)^{-4/3+o(1)},$$

d'où

$$\sigma_N = N^{4/7+o(1)}.$$

## Longueur du front

Pour la longueur  $L_N$  de l'interface :

$$L_N \approx (\sigma_N)^{D_f} \times (\ell_N / \sigma_N)$$

Comme  $\sigma_N \approx N^{4/7}$  et  $D_f = 7/4$ ,

$$L_N \approx (N^{4/7})^{7/4} \times (\ell_N / N^{4/7}) = N^{3/7} \ell_N.$$

## Asymétrie discrète

**Mais** on a aussi :

### Proposition

*Pour une boîte de taille  $\sigma_N/2$  à hauteur  $N/2 + \sigma_N$  : elle contient  $\approx (N^{4/7})^{7/4} = N$  sites sur le front, mais*

$$\mathbb{E} \left[ \# \text{sites blancs} - \# \text{sites noirs} \right] \approx N^{4/7} \gg \sqrt{N}.$$

$\rightsquigarrow$  A la limite d'échelle, différent du regime critique : l'interface tourne plus d'un côté.



## Description du modèle

- On commence à l'instant  $t = 0$  avec un grand nombre  $n$  de particules situées à l'origine,
- et on les laisse faire des marches aléatoires indépendantes.

A chaque instant  $t$ , sites occupés = contenant au moins une particule (regroupés en amas).

Évolution pour  $n = 10000$  particules :  $t = 10$



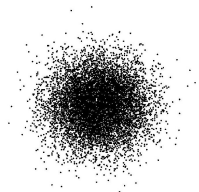
Évolution pour  $n = 10000$  particules :  $t = 100$



Évolution pour  $n = 10000$  particules :  $t = 500$

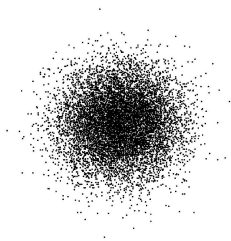


Évolution pour  $n = 10000$  particules :  $t = 1000$





Évolution pour  $n = 10000$  particules :  $t = 1463 = \lambda_{\max} n$



$$t = 1463 = \lambda_{\max} n \text{ (zoom)}$$



Évolution pour  $n = 10000$  particules :  $t = 2500$

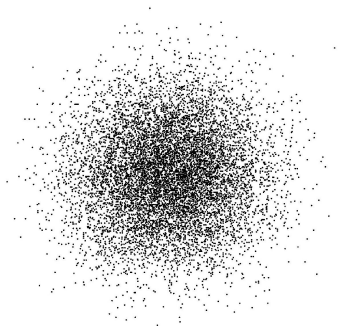




$t = 2500$  (zoom)



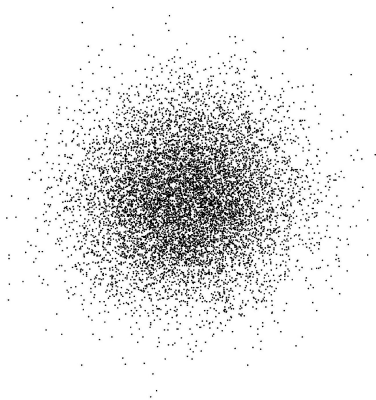
Évolution pour  $n = 10000$  particules :  $t = 3977 = \lambda_c n$



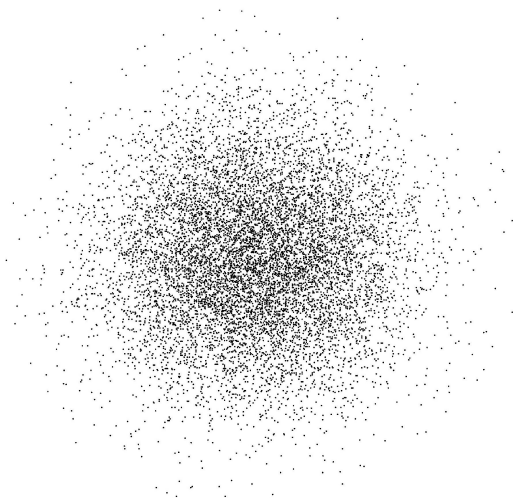
$$t = 3977 = \lambda_c n \text{ (zoom)}$$



Évolution pour  $n = 10000$  particules :  $t = 5000$



Évolution pour  $n = 10000$  particules :  $t = 10000$



$t = 10000$  (zoom)



## Approximation poissonnienne

Probabilité d'occupation d'un site  $z$  :

$$p(z) = 1 - (1 - \pi_t(z))^n \simeq 1 - e^{-n\pi_t(z)}.$$

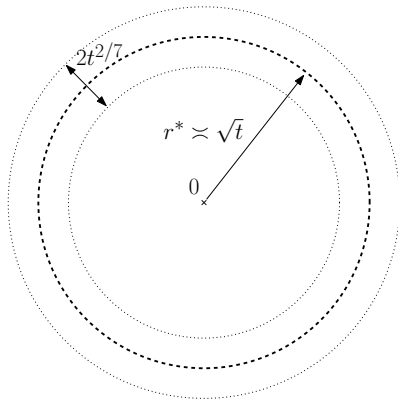
C'est égal à  $p_c = 1/2$  pour

$$\|z\| = \sqrt{t \log \frac{\lambda_c}{t/n}}$$

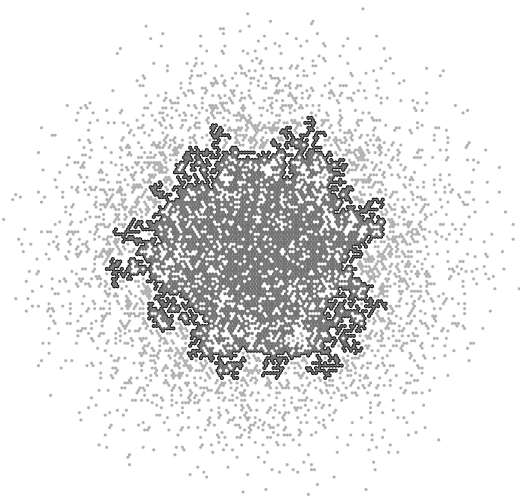
si  $t \leq \lambda_c n$ , avec  $\lambda_c = \sqrt{3}/2\pi \log 2$  (et cela reste  $< 1/2$  sinon).

## Approximation poissonnienne

$\approx$  percolation en gradient localement : frontière localisée dans un anneau de largeur  $\approx (\sqrt{t})^{4/7} = t^{2/7}$  autour de  $r = r^* \asymp \sqrt{t}$ .





Géométrie : cas  $\lambda < \lambda_c$ 

## Géométrie : cas $\lambda < \lambda_c$

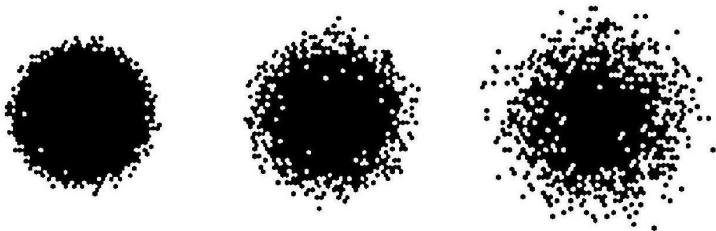
### Théorème (N.)

Considérons  $t_n = \lambda n$ , avec  $\lambda < \lambda_c$  : avec probabilité tendant vers 1 lorsque  $n \rightarrow \infty$ ,

- *unique interface macroscopique autour de 0,*
- *localisée dans un anneau de largeur  $\approx t^{2/7}$  autour de  $r = r^*(\lambda) = c(\lambda)\sqrt{t}$ ,*
- *dimension fractale  $7/4$ , longueur  $\approx t^{5/7}$ .*

## Modèles avec exclusion

Modèles avec exclusion ?



# Inhomogénéité et universalité : conclusion

Conclusion :

1. Dans les modèles physiques où la transition de phase de la percolation intervient, on observe un régime “presque-critique”, plutôt qu’exactement le régime critique.

# Inhomogénéité et universalité : conclusion

Conclusion :

1. Dans les modèles physiques où la transition de phase de la percolation intervient, on observe un régime “presque-critique”, plutôt qu’exactement le régime critique.
2.  $\Rightarrow$  Résultats positifs et négatifs :
  - similarités avec la percolation critique (dimension fractale, exposants. . .).
  - différences (asymétrie locale) : pas la même classe d’universalité.

The end

Merci !